Сибирский солнечный радиотелескоп, состояние и перспективы развития

Алтынцев А.Т., Лесовой С.В.

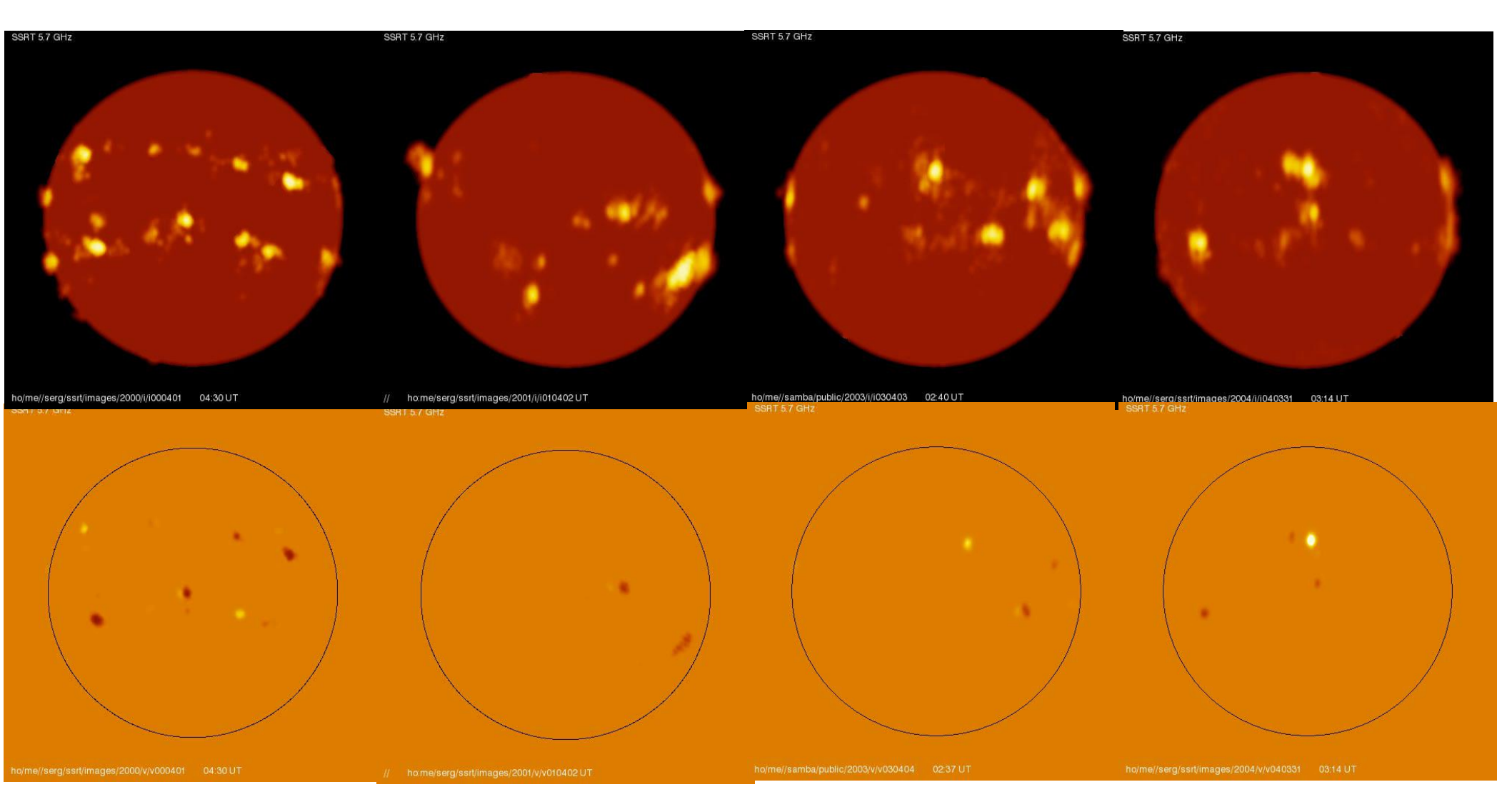
Институт солнечно-земной физики СО РАН, Иркутск

Всероссийская радиастрономическая конференция 2014, Пущино

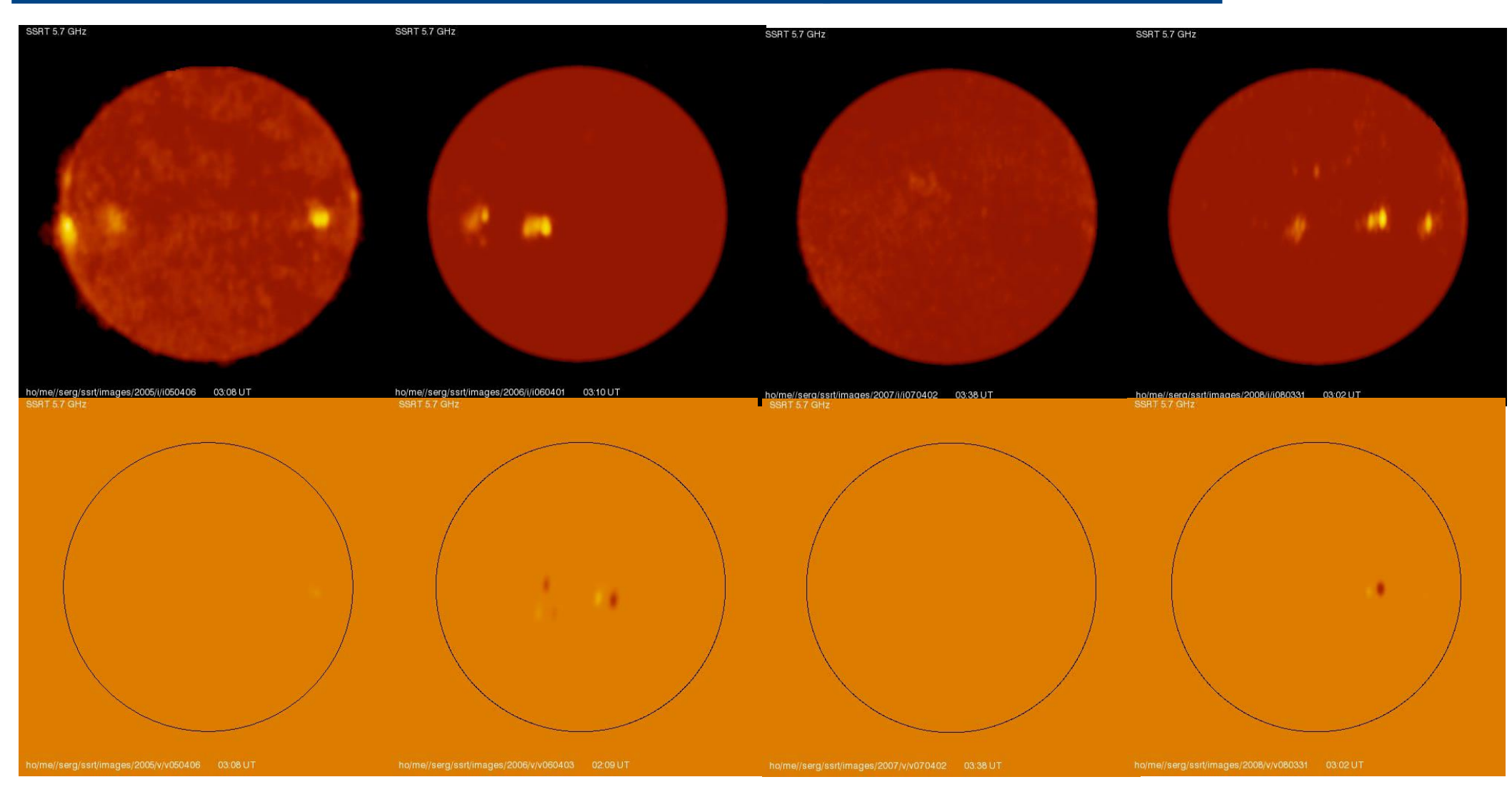
Архив данных ССРТ (2000-2004)

Ряд наблюдений на ССРТ в двумерном режиме с 1999 по 2013 гг. Данные:

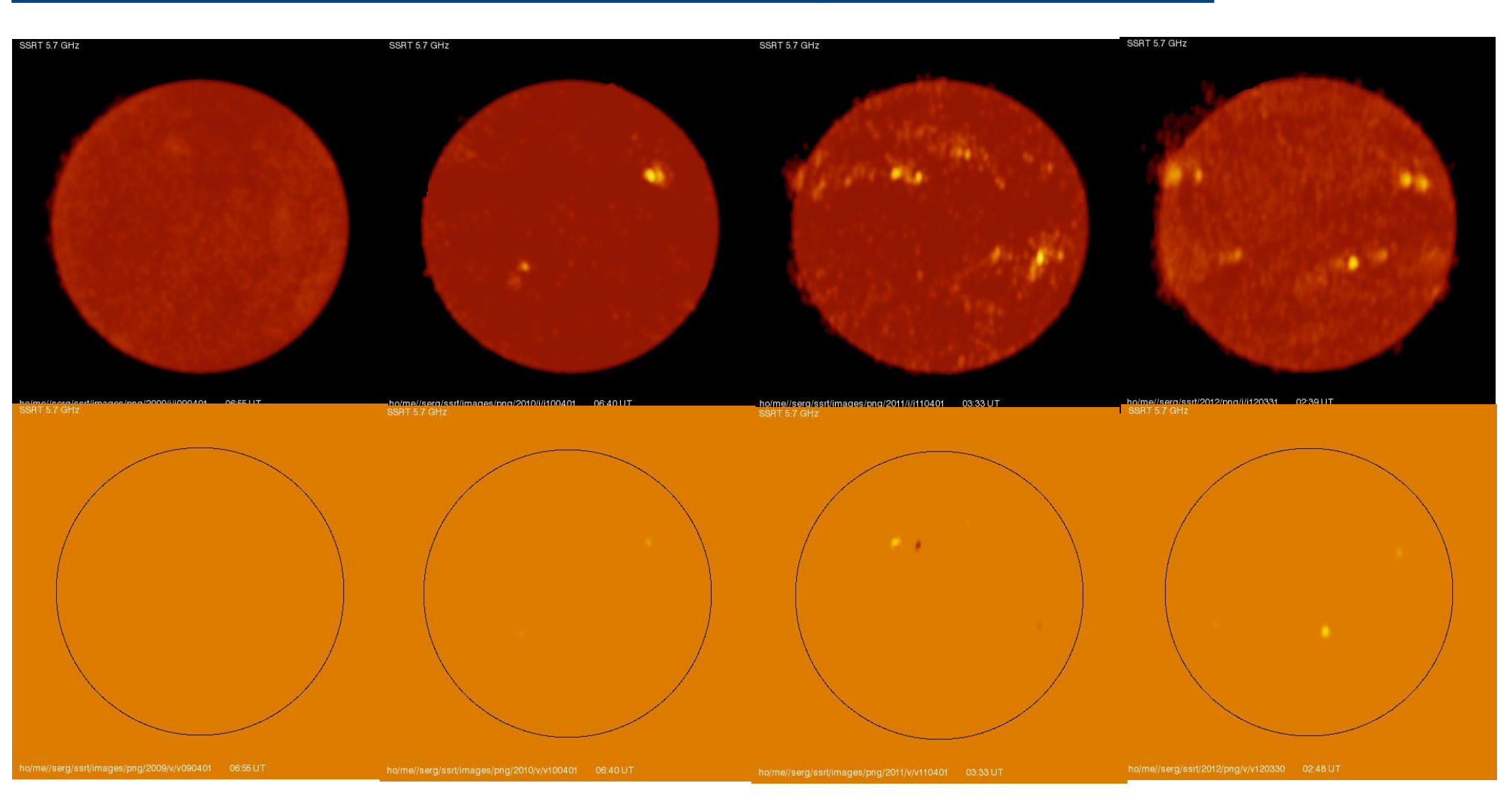
изображения полного диска Солнца на частоте 5.73 ГГц с угловым разрешением до 20" и временным 2-3 мин.; одномерные изображения (сканы) с двух антенных линеек с угловым разрешением до 15" и временным до 14 мс.



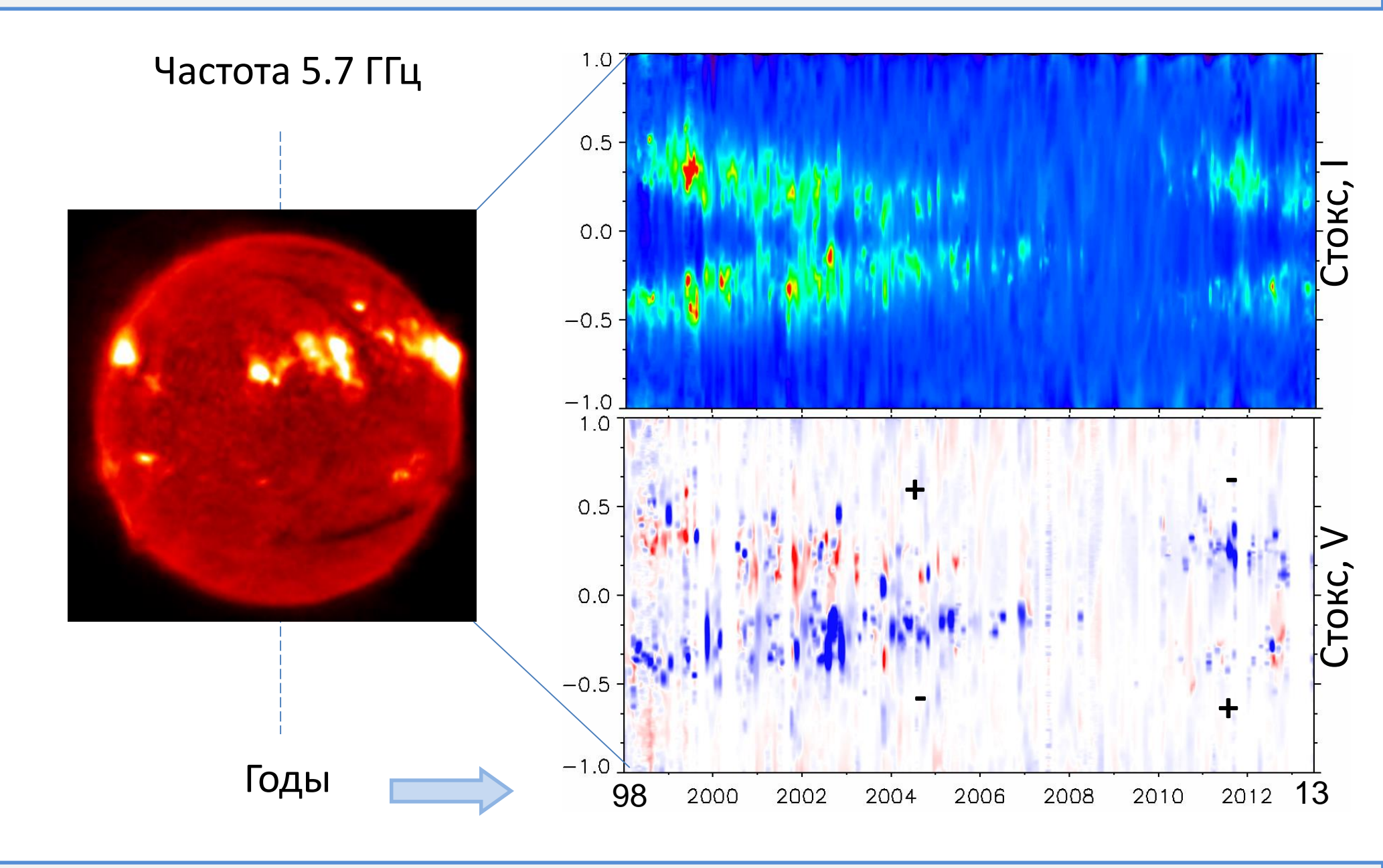
Архив данных ССРТ (2005-2008)



Архив данных ССРТ (2009-2012)

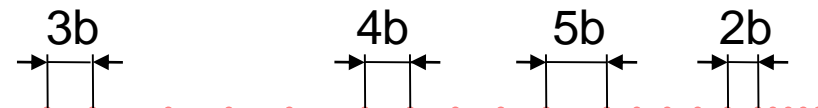


Глобальная солнечная активность по данным ССРТ



©А.Т. Алтынцев, А.А. Кочанов, О.В. Нелюбова, Г.В. Руденко

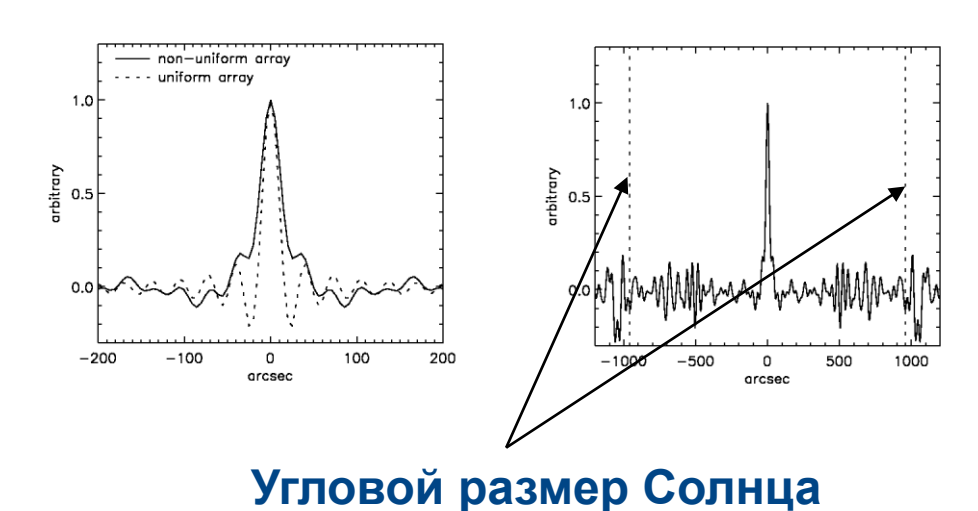
Конфигурация антенной решетки



Т-образная решетка с проряжением к краю

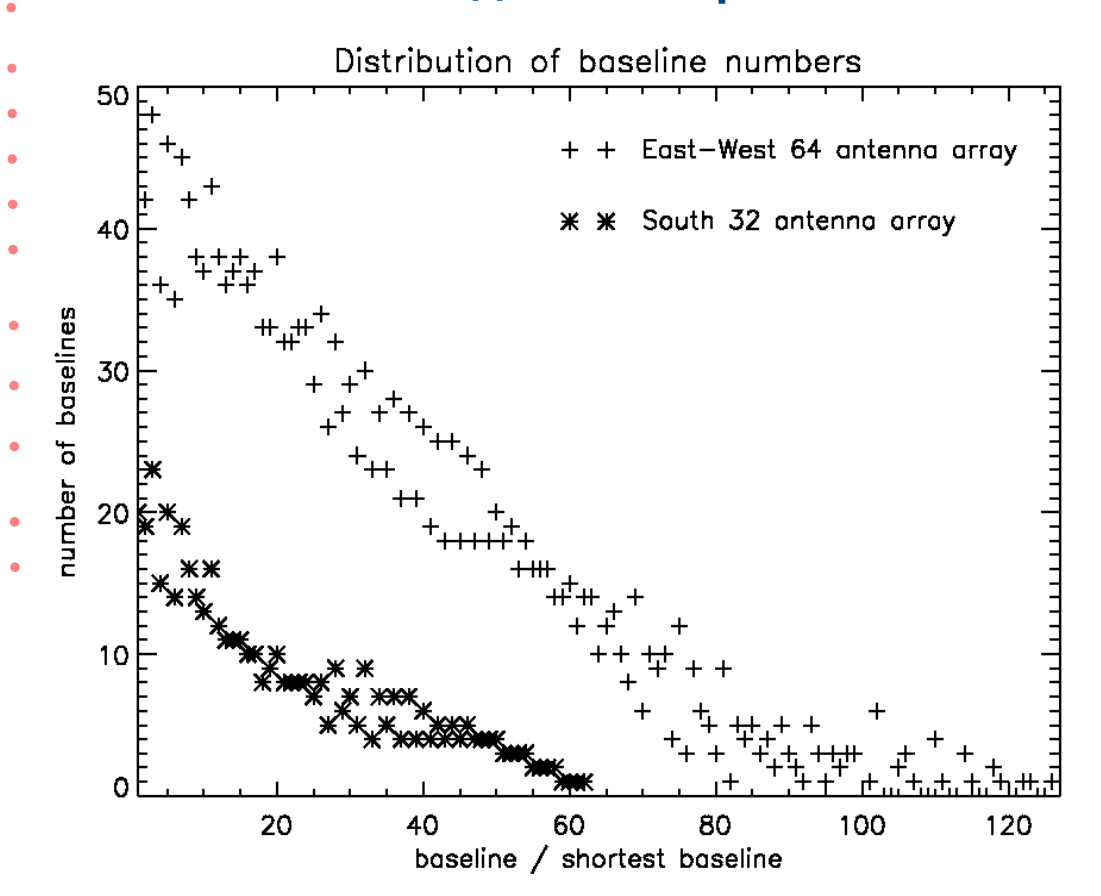
Наименьшая база 4.9 м (b)
Наибольшая EW 622.3 м (127b)
Наибольшая S 311.15 м (63b)
Диапазон частот 4-8 ГГц
16 частотных каналов (10 МНz)
Угловое разрешение 13" (8 ГГц)
Временное разрешение 1 s

Сечение двумерной ДН радиогелиографа.



Общее число баз 4560 Число уникальных баз 2048

Распределение 2512 одномерных баз. Эти базы предполагается использовать для калибровок.



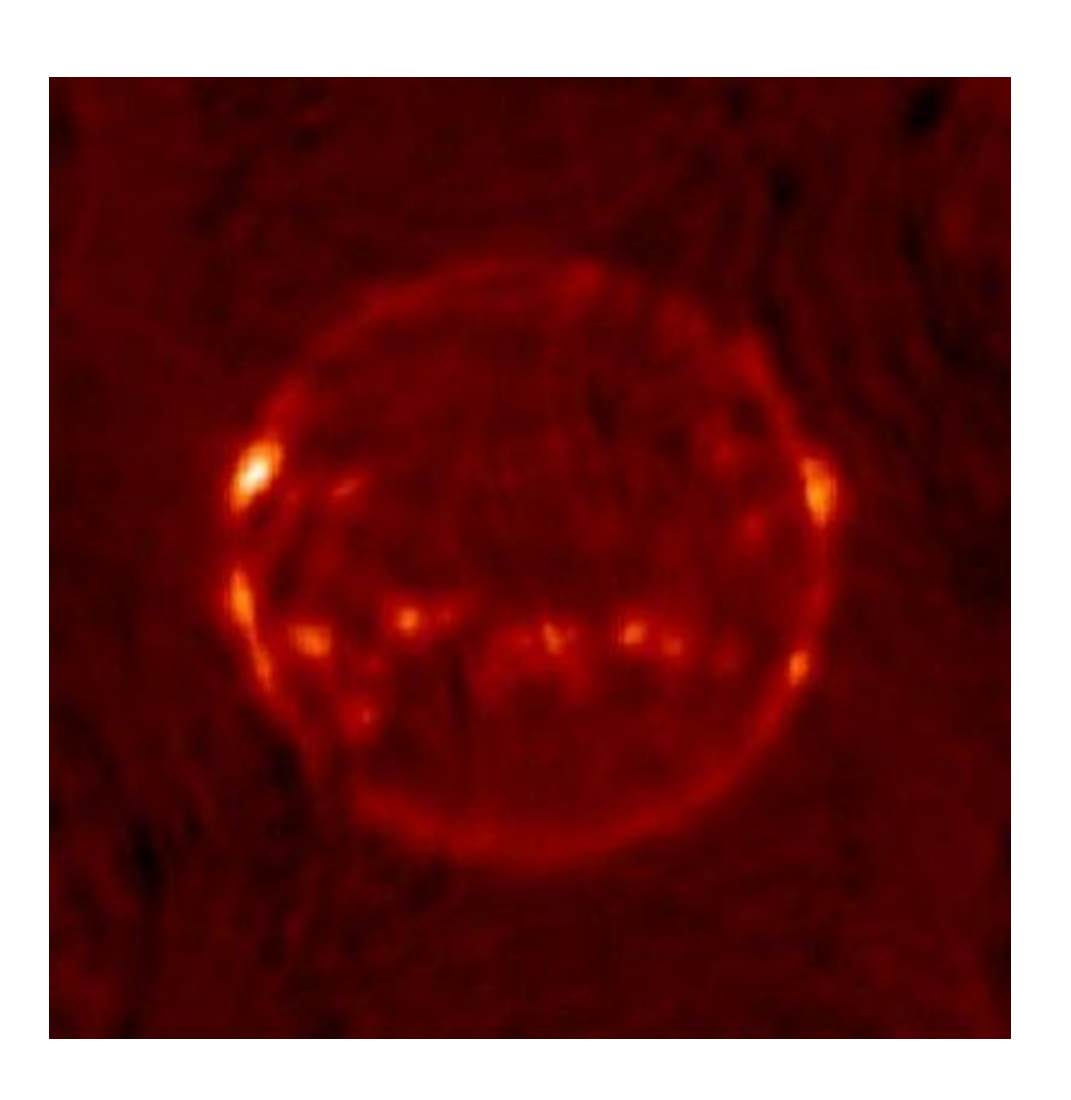
Конфигурация антенной решетки

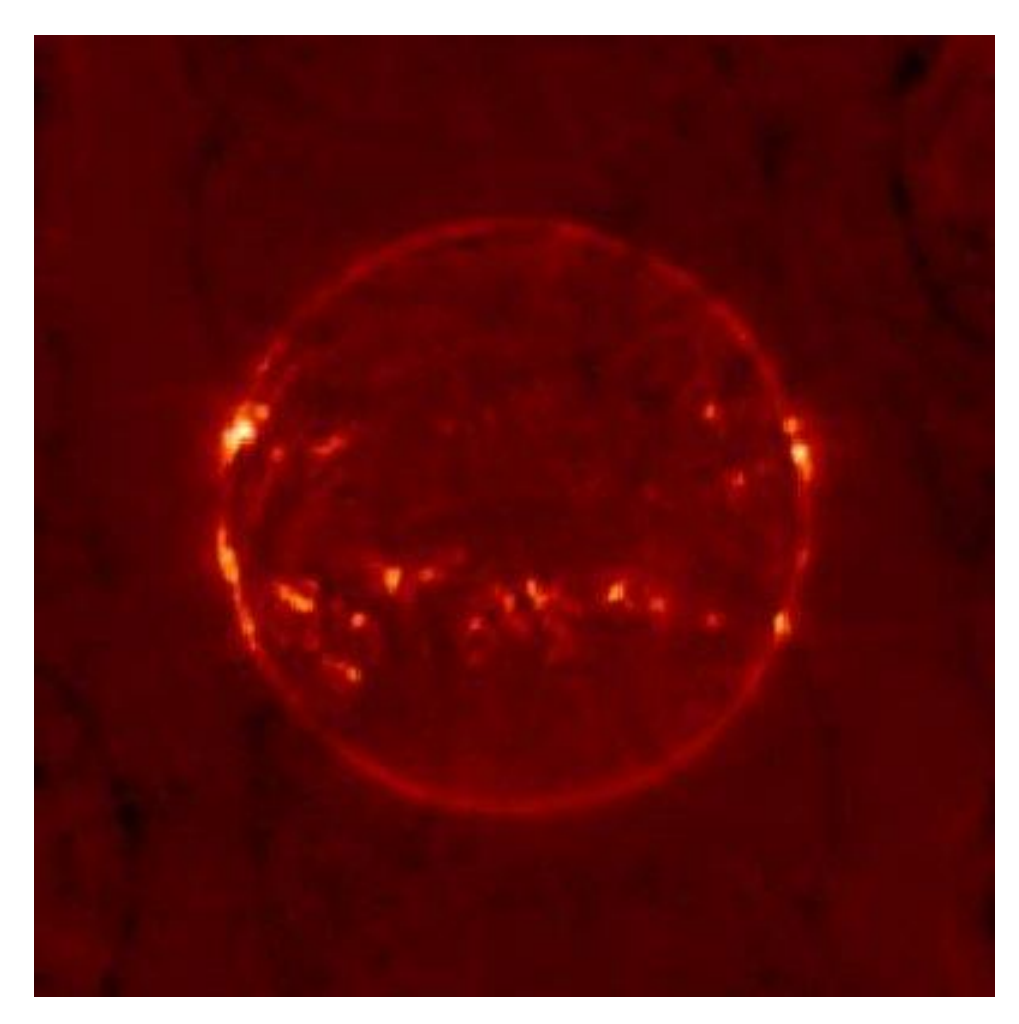


Модель отклика радиогелиографа

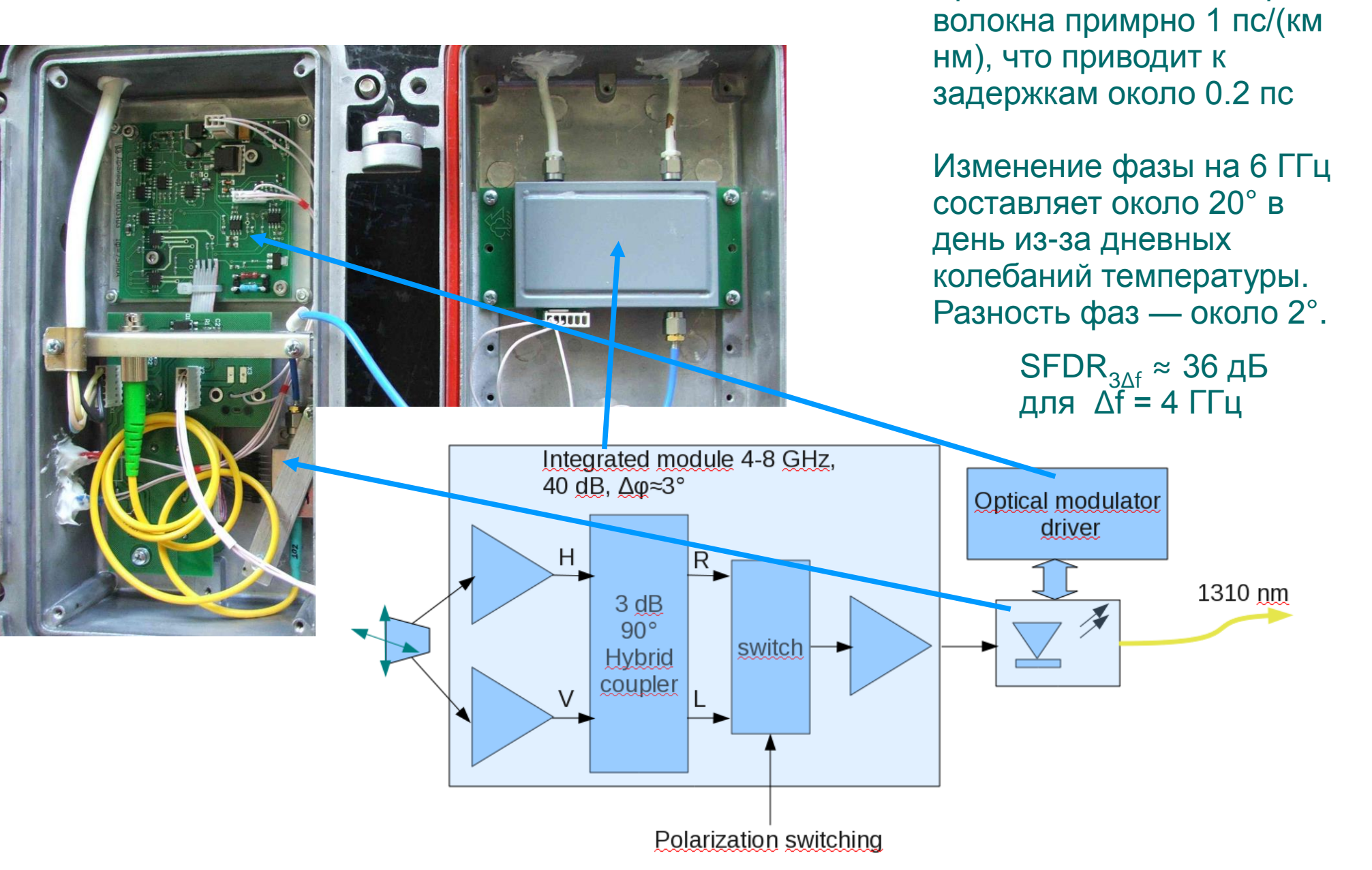
Свертка ДН прореженной к краю 96антенной решетки с изображением Солнца в УФ. Свертка ДН эквидистантной 192антенной решетки с изображением Солнца в УФ.

При одинаковых максимальных базах, отклик эквидистантной решетки более приемлем.





Антенный модуль



Хроматическая дисперсия

Антенный модуль



Общий вид антенны радиогелиографа. Антенный модуль, содержащий усилители, квадратурный мост, коммутатор и оптический модулятор.

Облучатель, принимающий две линейные поляризации в диапазоне 4-8 ГГц.

Отношение сигнал/шум на выходе коррелятора подтверждает приемлемость оптических линий для передачи сигнала от антенн к рабочему зданию.

Проблемы: перегрев оптического модулятора,

конденсат в облучателе,

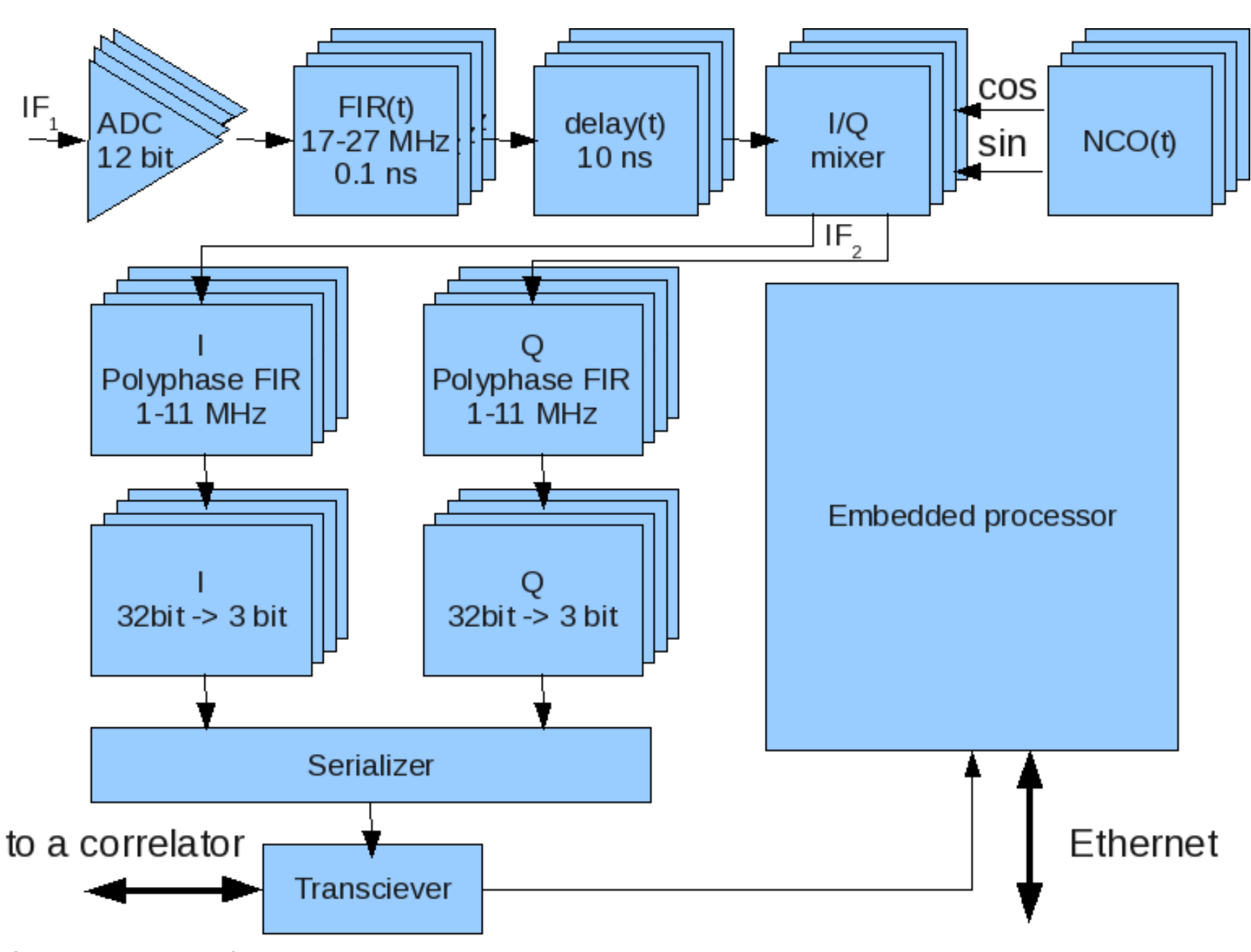
оптические разъемы

Решения: замена бокса на более массивный,

замена защитной пленки облучателя на

лавсан,

FPGA IP core for Altera Cyclone V.



PCI Express кабель

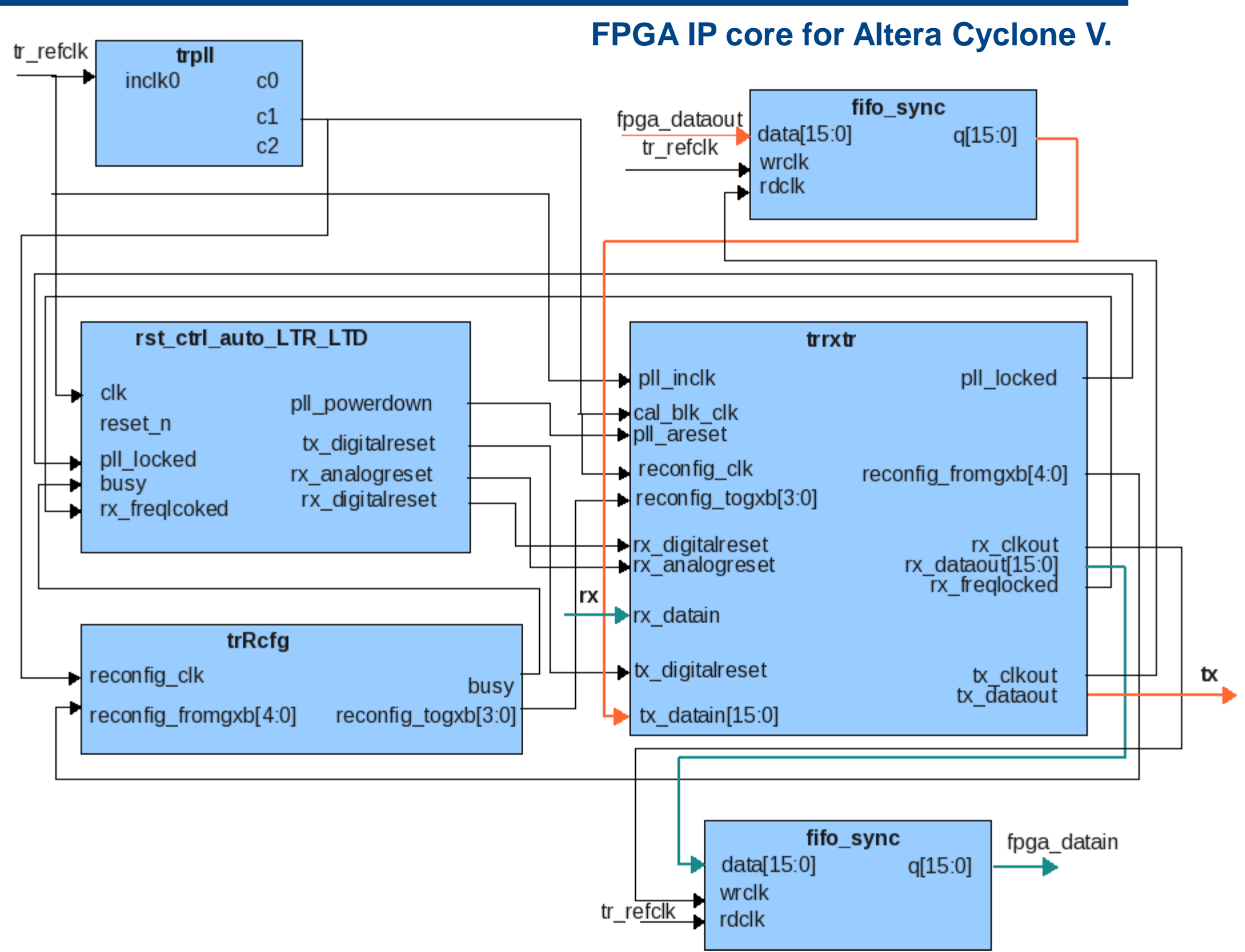
<u>Цифровой приемник: компенсация</u> геометрической задержки

Ошибки в компенсации ведут к $\Box = 2 \Box \frac{\Box \Box_{IF2}}{2 \overline{3}} \frac{\Box_{step}}{6} \le 1^{\circ}$ для шага компенсации <u>1 нс</u> фазовым ошибкам $\Box = c \Box \Box_g^{kl} / \Box b^k - b^l \sin \Box \approx 3.5^\circ$ Но смещение ДН для наименьшей базы при этом $\Delta\theta$ Δθ,

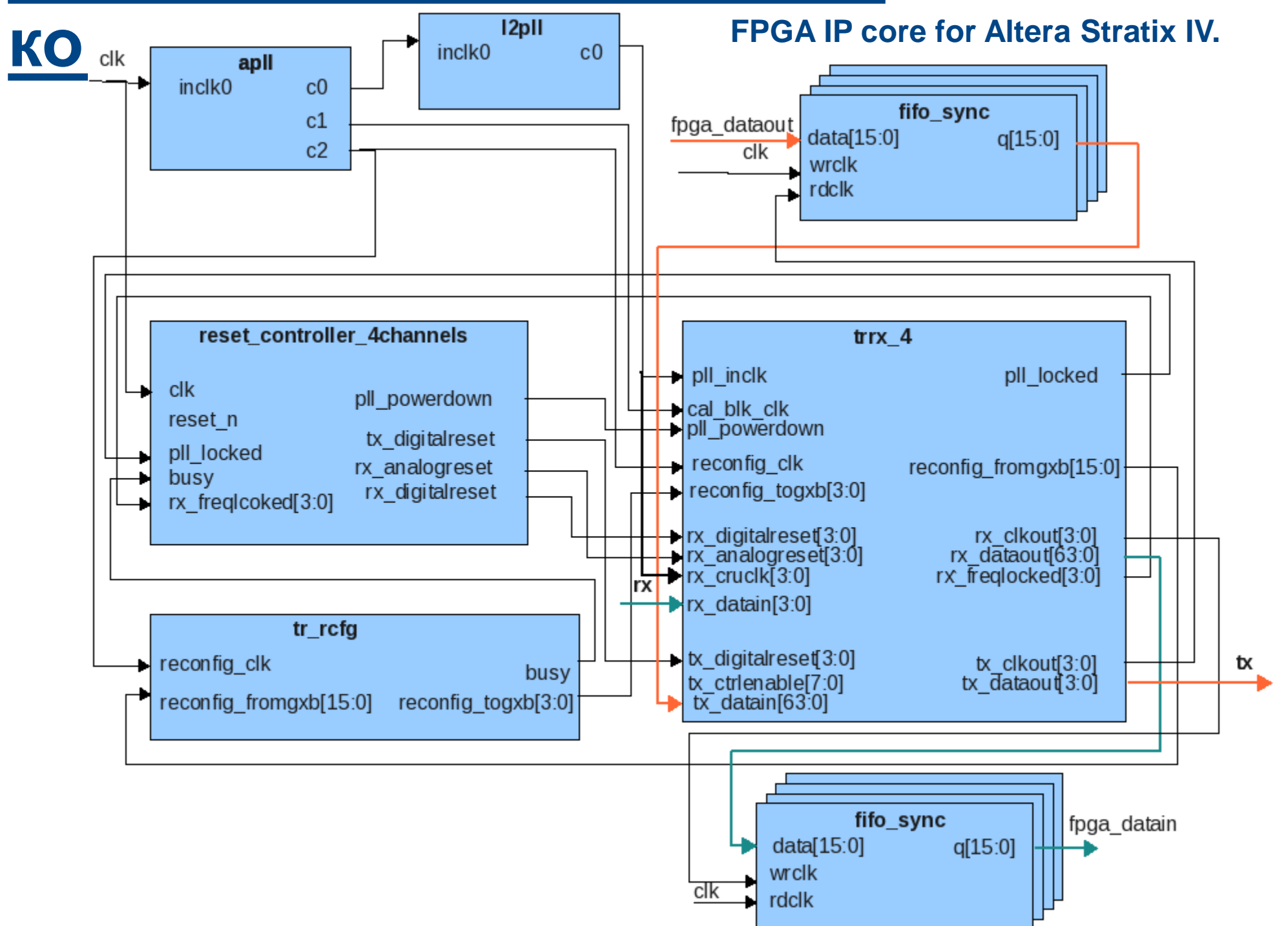
Поэтому шаг задержки выбран <u>0.1 нс</u> для компенсации через подбор фазовой характеристики полосового фильтра.

m

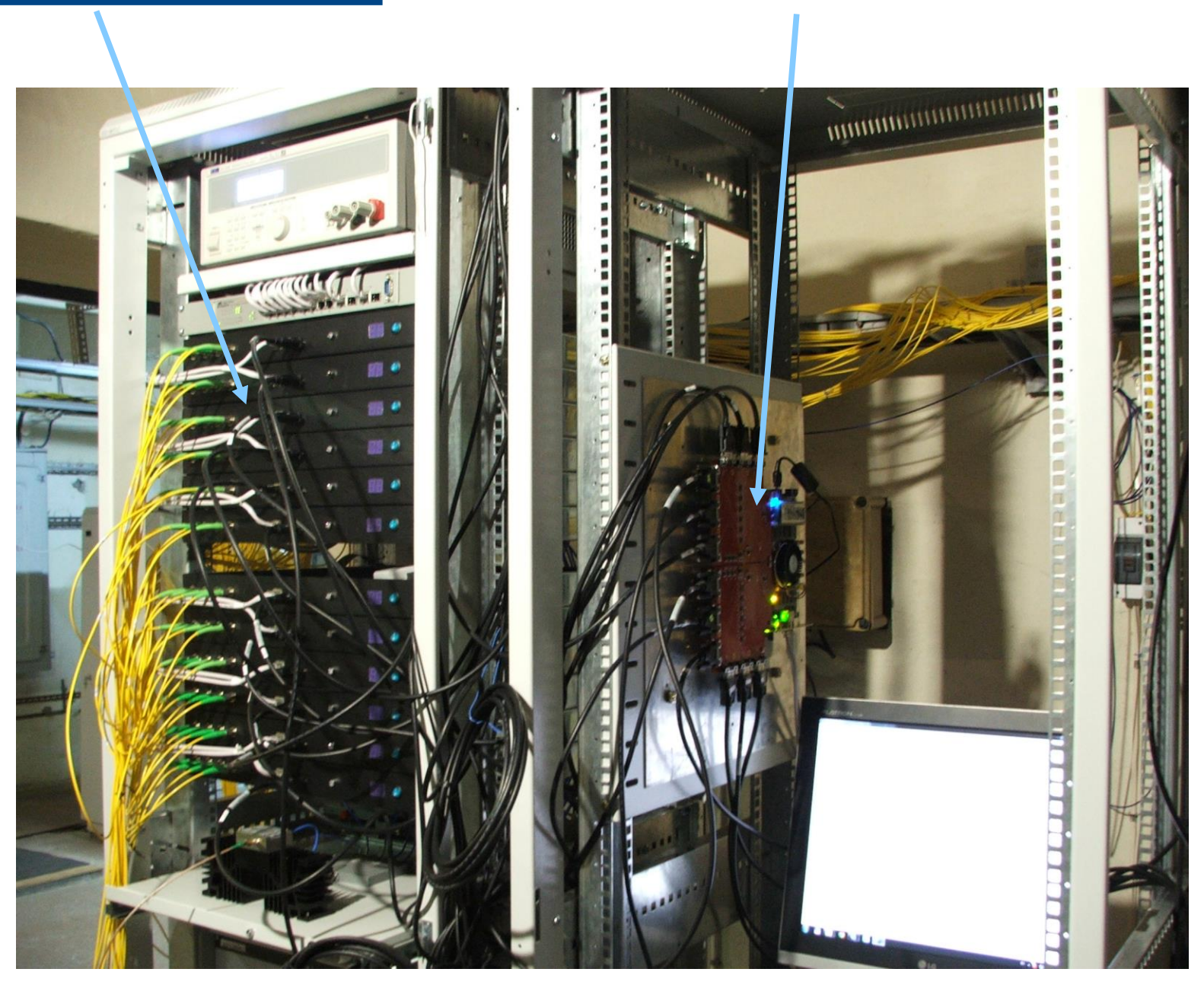
Трансивер цифрового приемника



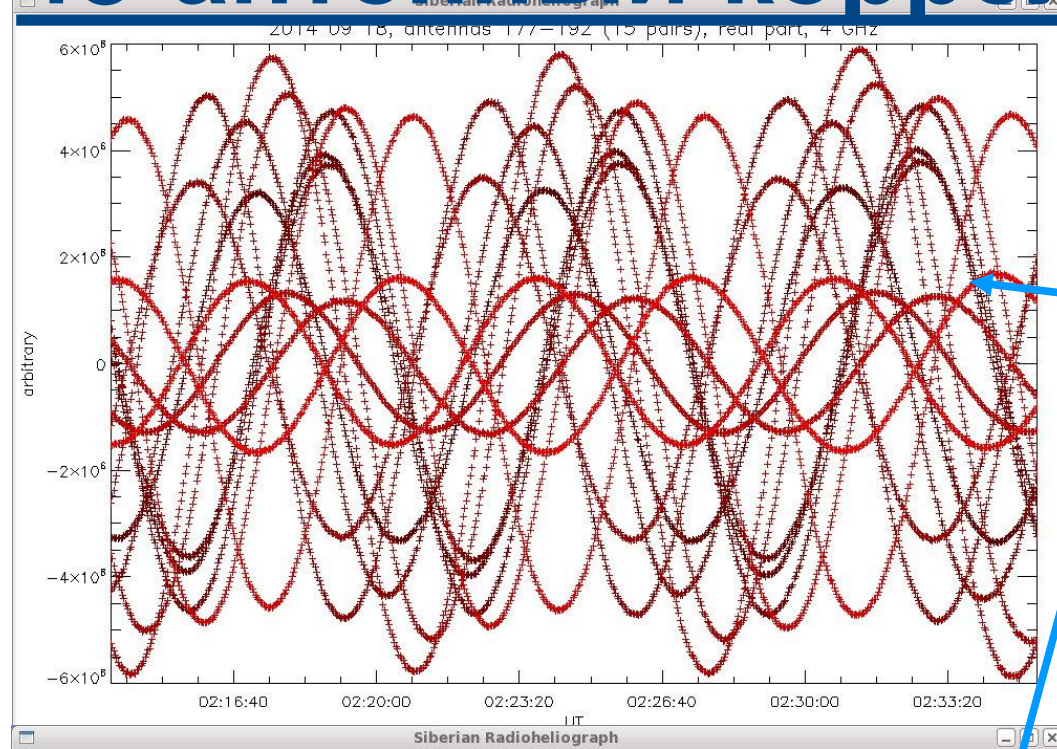
4-х канальный трансивер



<u>48-антенный цифровой приемник</u> и коррелятор

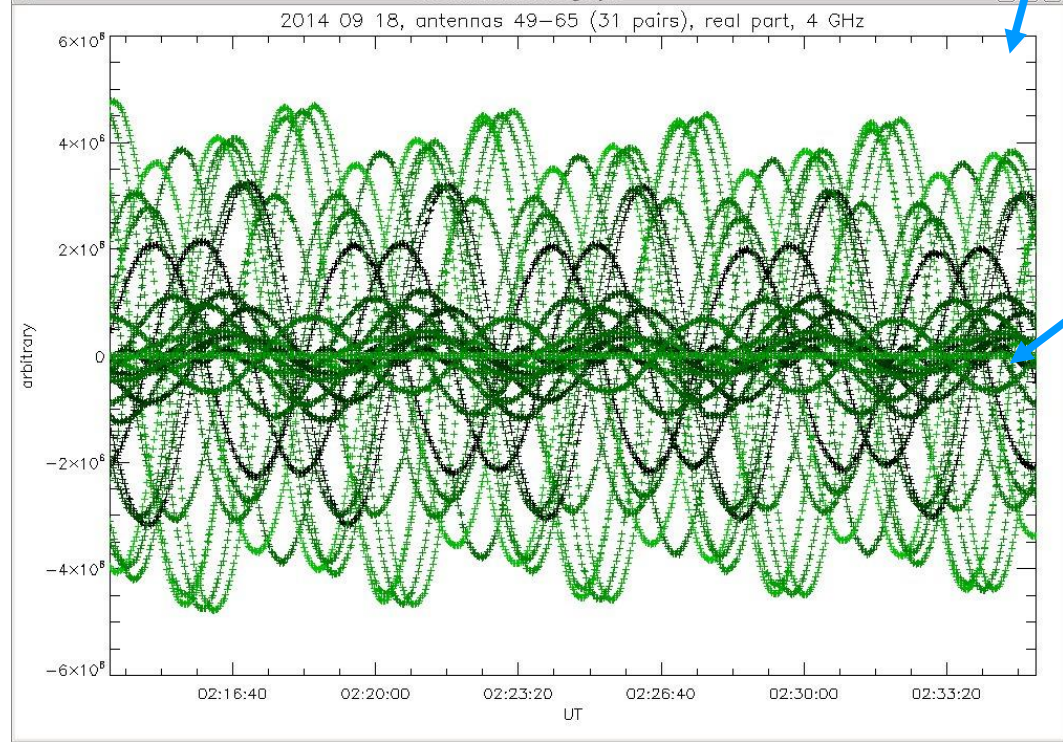


48-антенный коррелятор



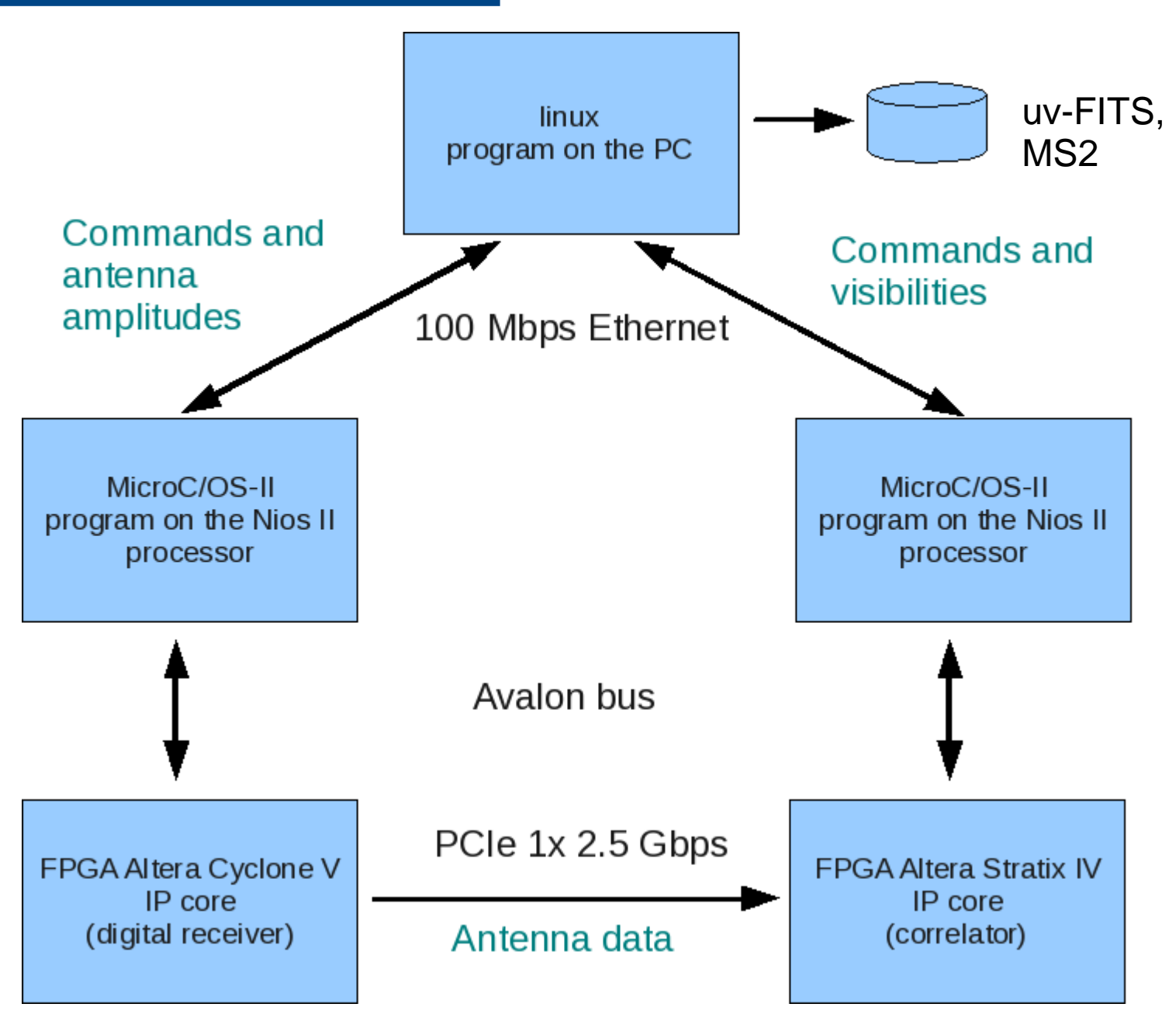
Действительные части выходных данных коррелятора для пар антенн используемых при калибровке. Антенная решетки Юг-(16 антенн) и Восток-Запад (32 антенны).

Отношение сигнал/шум в пределах 100-300 для различных пар. Определение фазы с точностью 0.2-0.6°.



Не работает один из трансиверов (всего 12 трансиверов).

Структура программного обеспечения радиогелиографа



Что сделано?

- 96 антенн смонтированы и оснащены оборудованием
- Цифровые приемники для 48 антенн разработаны, изготовлены и проверены
- 3-битовый коррелятор для 48 антенн разработан и протестирован. Все корреляции получены на одном чипе, сигналы подведены через кабели PCI Express и трансиверы Altera.
- Программное обеспечение для сбора/управления разработано

Что нужно сделать?

- Закончить разработку методики измерения разностей длин кабелей по сигналу от Солнца.
- Калибровка комплексных коэффициентов передачи антенн, с использованием избыточности решетки и сигнала от Солнца.
- Повысить стабильность сигналов от антенн.
- Разработать и изготовить концентратор для 96-антенной решетки.